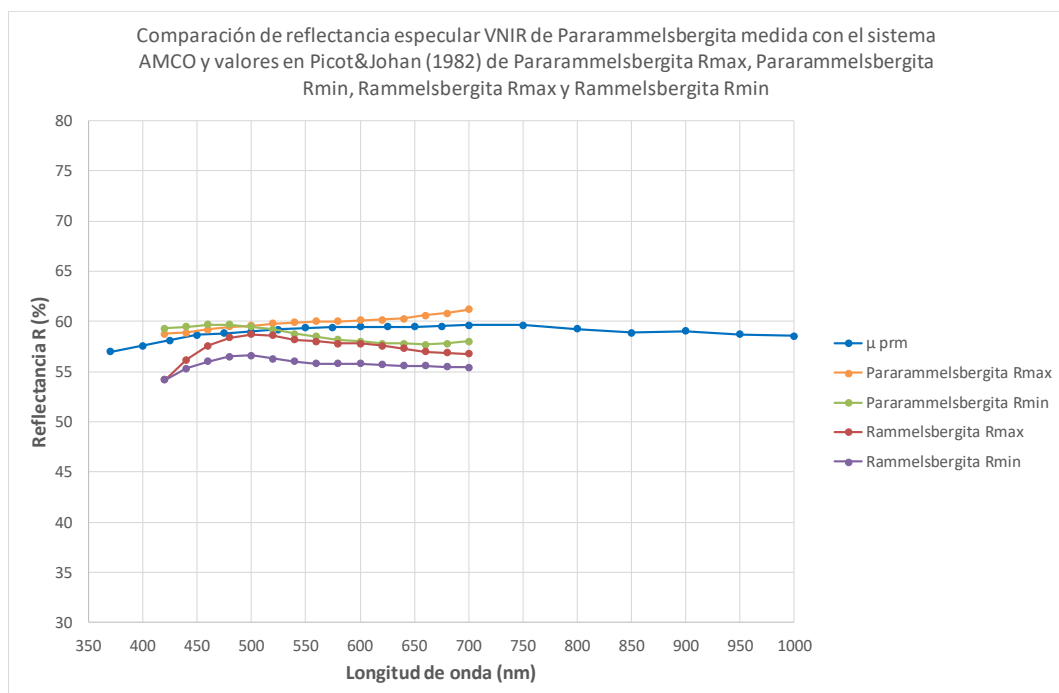
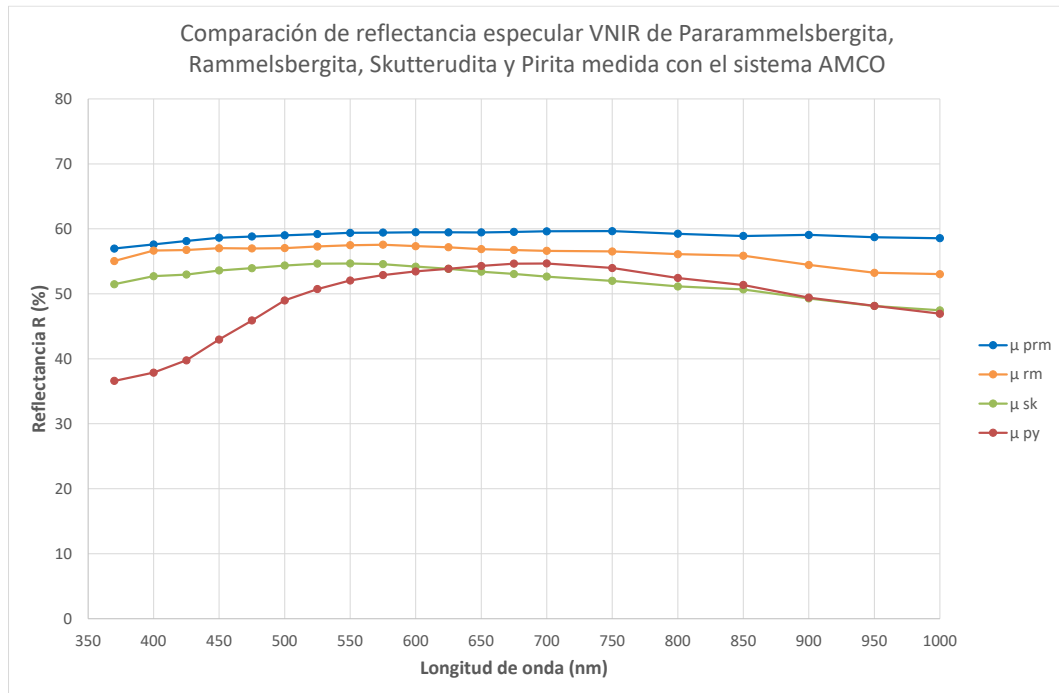


## PARAMMELBERGITA: REFLECTANCIA MULTIESPECTRAL R (en aire, sin polarizador) (%)

$\lambda$ (nm)	370	400	425	450	475	500	525	550	575	600	625	650	675	700	750	800	850	900	950	1000
$\mu$	57,0	57,6	58,1	58,6	58,8	59,0	59,2	59,4	59,4	59,5	59,5	59,5	59,5	59,6	59,7	59,2	58,9	59,1	58,7	58,6
$P_5$	55,7	56,4	57,0	57,6	57,6	57,6	58,0	58,4	58,4	58,4	58,4	58,4	58,4	58,4	58,4	58,0	57,2	57,6	57,2	57,2
$P_{20}$	56,7	57,2	57,6	58,0	58,2	58,4	58,6	58,8	58,8	58,8	58,8	58,8	59,0	59,2	58,8	58,4	58,0	58,4	58,0	58,0
$P_{80}$	57,9	58,4	58,8	59,2	59,4	59,6	59,8	60,0	60,0	60,0	60,0	60,0	60,2	60,4	60,4	60,0	59,6	60,0	59,6	59,2
$P_{95}$	58,3	58,8	59,2	59,6	60,0	60,4	60,4	60,4	60,4	60,4	60,4	60,4	60,6	60,8	61,2	60,8	60,8	60,8	60,4	60,4



Comparación de reflectancia especular VNIR de Pararammelsbergita medida con el sistema AMCO y valores en QDF3 de Pararammelsbergita R1, Pararammelsbergita R2, Löllingita R1 y Löllingita R2

